

یک روش کارآمد برای تخمین حالت مؤلفه اصلی و هارمونیکی در شبکه های توزیع شعاعی

مهدی معلم^۱ امیر فرخ پیام^۲ حسین شیروانی^۳ بهزاد میرزا ایان دهکردی^۴ محمد کیوانفرد^۵

۱- استاد- دانشکده برق و کامپیوتر، دانشگاه صنعتی اصفهان اصفهان
moallem@cc.iut.ac.ir

۲- دانشآموخته‌ی کارشناسی ارشد، دانشگاه برق و کامپیوتر، دانشگاه تهران و شرکت پژوهنده نیرو، اصفهان
a.farrokhpayam@ece.ut.ac.ir

۳- دانشآموخته‌ی کارشناسی ارشد، دانشکده برق و کامپیوتر - دانشگاه صنعتی اصفهان و شرکت پژوهنده نیرو، اصفهان
keivanfard@gmail.com

۴- دانشآموخته‌ی کارشناسی ارشد، شرکت پژوهنده نیرو، اصفهان
shirvani80@yahoo.com

۵- استادیار- گروه برق - دانشکده فنی و مهندسی - دانشگاه اصفهان
mirzaeian@eng.ui.ac.ir

چکیده: در این مقاله روشی کارآمد به منظور تخمین حالت مؤلفه اصلی و هارمونیک‌ها در شبکه‌های توزیع شعاعی ارائه می‌شود. توسعه و گسترش دامنه کاربرد این روش به تحلیل مشاهده‌پذیری و رؤیت شوندگی شبکه‌ها و پردازش داده‌ها به طور جامع مورد تحلیل و بررسی قرار می‌گیرد. از مهمترین مزیت‌های این روش قابلیت تشخیص داده‌های نادرست و پردازش صحیح آنها و قابلیت بکارگیری آن در مبحث تخمین حالت هارمونیکی در سیستم‌های شعاعی واقعی و عملی می‌باشد. در این مقاله با تست الگوریتم تخمین حالت بر داده‌های سیستم نمونه و همچنین قسمتی از شبکه توزیع شهرستان اصفهان، قابلیت و صحت عملکرد این روش هم برای مؤلفه اصلی فرکانس و هم مؤلفه هارمونیکی سوم و پنجم به طور کامل مورد بررسی قرار می‌گیرد.

کلمات کلیدی: هارمونیک، تخمین حالت، شبکه‌های توزیع شعاعی، تشخیص داده نادرست

تاریخ ارسال مقاله : ۱۳۸۷/۲/۲۰

تاریخ پذیرش مقاله : ۱۳۸۸/۹/۲۸

نام نویسنده‌ی مسئول : دکتر مهدی معلم

نشانی نویسنده‌ی مسئول : ایران - اصفهان - دانشگاه صنعتی اصفهان - دانشکده‌ی برق و کامپیوتر



۱- مقدمه

نموده اند. تکنیک تخمین حالت سیستم توزیع بر اساس مانیتورینگ زمان حقیقی در [۱۲] پیشنهاد شده است. هنگامی که از جریان های اندازه گیری شده استفاده می گردد، رؤیت شوندگی شبکه به تنها بی بر اساس فاکتوریزه کردن DLU از ماتریس ضرایب می تواند مشخص گردد. این نکته به علت امکان وجود راه حل های مختلفی برای یک شبکه مشخص و نحوه اندازه گیری می باشد، در مقاله [۱۳] یک سیستم توزیع با استفاده از تحلیل عددی رؤیت شوندگی بر اساس فاکتوریزه کردن مثلثی ماتریس ضرایب که به یک تخمین حالت سه فاز، اعمال شده، ارائه شده است.

تخمینگر حالت سیستم توزیع بر اساس وزن دهی مجدور مربعات و تکنیک مدلسازی سه فاز در [۱۴] ارائه شده است، پخش توان و تخمین حالت چند فازه در [۱۵] انجام شده است. روش های متداول تخمین حالت که بر اساس تکنیک حداقل مجدور مربعات پایه ریزی شده اند به واسطه مشکلات مربوط به ماتریس ضرایب و ماتریس های ژاکوبین، دارای خطای خطا می باشند.

علاوه بر این، این روش ها قابل اعمال به سیستم هایی با نقاط کم و ضرایب $\frac{X}{R}$ بالا بین خطوط بوده و محاسبات از بازدهی چندانی برخوردار نیست. همچنین اکثر این روش ها نیازمند به داشتن اطلاعات اندازه گیری شده ای از حداقل نصف نقاط شبکه می باشند که در حالت عملی و بویژه با در نظر گرفتن امکانات موجود در کشور چنین امری به سختی امکان پذیر می باشد.

در این مقاله الگوریتمی کارآمد و مقاوم به منظور تخمین حالت سه فاز که در شبکه های توزیع شعاعی استفاده می شود و قابلیت توسعه و بکارگیری در مبحث تخمین حالت هارمونیکی دارد، ارائه می گردد. بسط و گسترش دامنه کاربرد این روش به تحلیل مشاهده پذیری و رؤیت شوندگی شبکه ها و پردازش داده ها به طور جامع مورد تحلیل و بررسی قرار می گیرد. این روش از طبیعت ویژگی ذاتی یک شبکه شعاعی استفاده کرده و از روش پخش بار هارمونیکی پیش روئده و پخش بار هارمونیکی پس روئده به منظور تخمین جریان و توان جاری در خطوط و ولتاژ گره و بارها بر اساس مقادیر اندازه گیری شده استفاده می نماید.

از مهمترین مزایای این الگوریتم می توان به قابلیت بکارگیری آن در مبحث تخمین حالت هارمونیکی در سیستم های شعاعی واقعی و عملی، همچنین قابلیت تصحیح خطاهای مربوط به داده های اندازه گیری شده در حین انجام عملیات تخمین اشاره نمود. در این مقاله ابتدا به بررسی روش پخش بار شعاعی پرداخته و سپس الگوریتم تخمین حالت هارمونیکی مورد بررسی قرار می گیرد. در ادامه با تست الگوریتم تخمین حالت بر داده های سیستم نمونه و همچنین قسمتی از شبکه توزیع شهرستان اصفهان، قابلیت و صحت عملکرد این روش هم برای مؤلفه اصلی فرکانس و هم مؤلفه هارمونیکی سوم و پنجم به طور کامل مورد بررسی قرار می گیرد.

استفاده از تخمین حالت در سیستم های قدرت به اواخر دهه ۶۰ و اوایل دهه ۷۰ میلادی بر می گردد. مدل دقیق [۱] و تقریبی [۲]، تئوری و مباحث پایه مربوط به تخمین [۳]، چگونگی کاربرد تخمین حالت در سیستم های قدرت [۴، ۵ و ۶]، آنالیز و تشخیص داده های بد (نادرست) [۷] و نحوه رؤیت شوندگی سیستم های قدرت [۸] از جمله مسائلی هستند که در طی سالهای ۱۹۷۰ تا ۱۹۸۰ میلادی درباره مبحث تخمین حالت در سیستم های قدرت مطرح شده اند.

استفاده از بارهای غیرخطی در شبکه های قدرت و به طور کلی بارهای هارمونیک زا، میزان آلدگی هارمونیکی در سیستم های قدرت را به شدت افزایش می دهد [۹ و ۲۰]. عدم شناخت کامل بارهای غیرخطی از نظر ساختمان و مدل آنها و نیز روابط پیچیده ریاضی حاکم بر این بارها، سبب افزایش خطای در آنالیز سیستم های قدرت گردیده است. همچنین عدم شناخت کامل از انواع بارهای هارمونیک زا، سبب عدم اطلاع از موقعیت این نوع بارها در سیستم گردیده است.

لزوم استفاده از تکنیک های تخمین حالت در شرائط واقعی، ایده استفاده از تخمین حالت در تشخیص منابع هارمونیکی در سیستم های قدرت آلوهه به هارمونیک را قوت بخشید. پروفسور هیت (G.T. Heydt) و دستیارانشان از جمله کسانی هستند که در سال ۱۹۸۹ این ایده را مطرح نموده اند [۱۰ و ۱۱]. آنها برای دستیابی به اهداف مورد نظر خود از چهار نوع اندازه گیری اندازه ولتاژ، اندازه جریان، توان اکتیو و توان راکتیو استفاده نموده اند. در همین راستا پروفسور آریلاگا (J. Arrillaga) و همکارانشان کاربرد تخمین حالت در سیستم های قدرت با بکارگیری اندازه گیری از نوع فازوری (یعنی فازور ولتاژ و فازور جریان) را مورد بررسی قرار داده اند.

در حال حاضر با توجه به افزایش اطلاعات پیرامون انواع بارهای غیرخطی و هارمونیک زا در شبکه و نیز آگاهی از نحوه رفتار این بارها، مبحث تخمین حالت در سیستم های قدرت آلوهه به هارمونیک صرفاً برای اطلاع از محل و نوع بارهای هارمونیکی به کار نمی رود بلکه به عنوان ابزاری برای آگاهی از سطوح ولتاژ و جریان در کلیه نقاط سیستم قدرت استفاده می شود. مقایسه این سطوح با استانداردهای وضع شده در شبکه های آلوهه به هارمونیک، میزان آلدگی هارمونیکی در قسمت های مختلف شبکه را نشان می دهد.

قابلیت مشاهده پذیری یک شبکه توزیع، تشخیص داده های نادرست و بد، همچنین تکنیک های تخمین حالت، پیش نیازهای لازم برای موفقیت یک سیستم اتوماسیون توزیع کارآمد می باشد. امروزه طراحی و استفاده از سیستم اتوماسیون توزیع به منظور عملکرد پُریازده شبکه های توزیع، ضروری می باشد. در موارد استفاده از داده های زمان حقیقی، پرسه تخمین حالت از مدول های متفاوتی تشکیل شده که می توان به تopolyزی پردازشگر، تحلیل رؤیت شوندگی، تخمینگر حالت و پردازش داده های نادرست اشاره کرد. بسیاری از محققین به منظور تخمین حالت در سیستم های توزیع، روش های متفاوتی را پیشنهاد

نحوه انجام تخمین در حالتی که شبکه رویت شونده نباشد مطرح می‌گردد. در ادامه الگوریتم تخمینگر پیشنهادی ارائه شده و سپس هر کدام از مراحل آن به همراه مشکلات احتمالی و راه حل‌های ارائه شده مورد بررسی قرار می‌گیرند.

۱-۳- رویت شوندگی شبکه و دقت اندازه گیری‌ها

یک سیستم قدرت، رویت شونده خواهد بود اگر اندازه گیری‌های انجام شده روی آن به محاسبه اندازه و زاویه و لتاژهای باس‌های آن شبکه به صورت نسبتاً دقیق کمک کند. بنابراین اگر یک شبکه رویت شونده باشد، تخمین حالت استاتیک در آن قابل اجرا خواهد بود. در غیر این صورت می‌توان چنین نتیجه گیری کرد که شبکه مربوطه رویت شونده نیست. به طور کلی عدم رویت پذیری یک شبکه می‌تواند ناشی از دو عامل زیر باشد:

- کم بودن یا کافی نبودن اطلاعات (مخصوصاً اندازه گیری‌ها) درباره شبکه، که در این خصوص بررسی‌های لازم انجام شد.

- عدم رویت پذیری شبکه به خاطر تپولوژی خاص آن شبکه. تشخیص رویت شوندگی یک شبکه قدرت و یا قسمتی از آن، با استفاده از الگوریتم‌های گرافیکی خاص قابل انجام است [۱۷]. لیکن اگر تخمین حالت در یک شبکه قدرت به ازای یک دسته اندازه گیری مستقل به جواب رسید، می‌توان چنین نتیجه گیری که شبکه قدرت مذکور رویت پذیر است.

مسئله تخمین در حالت زیر معین از جمله حالت‌هایی است که عدم رویت شوندگی در آن مشاهده می‌شود. علت اصلی این عدم رویت شوندگی، کم بودن تعداد اندازه گیری‌ها از تعداد متغیرهای حالت است.

به منظور حل مسئله تخمین در سیستم‌های قدرت در حالت زیر معین، از جمله رایج ترین روش‌ها، استفاده از اندازه گیری‌های کاذب است. لفظ اندازه گیری‌های کاذب به داده‌های اطلاق می‌شود که مستقیماً با اندازه گیری به دست نمی‌آیند. این داده‌ها به عنوان نمونه می‌توانند از تخمین حالت مرحله پیش، اطلاعات به دست آمده از اپراتورها، پیش‌بینی‌بار، پخش بار حالت پایه و ... استخراج شوند. اندازه گیری‌های کاذب همراه با اندازه گیری‌های واقعی به تخمین گر حالت اعمال می‌شوند. با توجه به این موضوع که اندازه گیری‌های کاذب به حد کافی دقیق نیستند، انحراف عیار بزرگی را به آنها نسبت می‌دهیم. انجام این کار سبب می‌شود که اندازه گیری‌های کاذب از دید تخمین گر حالت، به صورت اندازه گیری از یک دستگاه اندازه گیر با کیفیت خیلی پائین به حساب آیند.

۲- الگوریتم روشن تخمین

شکل (۱) مراحل محاسباتی این روش را نشان می‌دهد.

۲- روش پخش بار شبکه‌های شعاعی

روش‌های پخش بار بیشتر برای شبکه‌های ولتاژ بالا تدوین شده‌اند.

در این روش‌ها با کاهش نسبت $\frac{X}{R}$ خطوط، سرعت همگرایی به شدت کاهش می‌یابد و حتی ممکن است بعضی روش‌ها قادر به حل شبکه‌هایی که در آنها مقادیر X و R خطوط نزدیک به هم هستند نباشد. البته تجهیزاتی برای افزایش سرعت رسیدن به جواب در نظر گرفته شده است و روش‌های خاصی تدوین شده‌اند. این مشکل وقتی که شبکه‌های بزرگ شعاعی با تعداد زیاد خط و پست مورد مطالعه قرار می‌گیرند بیشتر آشکار می‌شود و نیاز به یک روش جهت حل این قبیل شبکه‌ها احساس می‌شود. در این مقاله از یک روش مؤثر برای پخش بار شبکه‌های توزیع شعاعی استفاده می‌شود این روش خاص شبکه‌های شعاعی است. در این روش حل شبکه از یک خط به خط دیگر به طور سیستماتیک ادامه پیدا می‌کند تا تمام خطوط در شبکه به حساب آیند. لازم ذکر است که لتاژ اولیه در تمام پست‌ها به جز پست مرجع که اندازه و فاز ولتاژ آن معلوم است مساوی یک پریونیت در نظر گرفته می‌شود [۱۶].

بر مبنای این ولتاژها توان اکتیو و راکتیو بار پست‌ها و جریان خطوط محاسبه و ذخیره می‌شوند. البته این کار نیاز به یک روش منطقی برای تعییب پست‌های شبکه دارد. به این منظور یک ماتریس مشخصه برای خطوط شبکه مورد نیاز است. جریان خطوط محاسبه شده برای محاسبه توان اکتیو و راکتیو تلف شده در هر خط به کار می‌رود و تلفات کل سیستم محاسبه می‌گردد. جریان در پست مرجع به صورت زیر محاسبه می‌شود:

$$I = \frac{(\sum P + \sum P_{loss}) - j(\sum Q + \sum Q_{loss})}{E^*_S} \quad (1)$$

مقادیر P و Q بار کل سیستم و مقادیر P_{loss} و Q_{loss} تلفات کل سیستم می‌باشند. E^* مقدار مزدوج ولتاژ پست مرجع است. محاسبات سپس ادامه پیدا می‌کند و آفت ولتاژ، جریان و تلفات در هر خط شبکه به صورت سیستماتیک از پست مرجع تا انتهای خطوط شبکه محاسبه می‌شوند. جدول مشخصه خطوط دوباره برای دنبال کردن مسیر صحیح خطوط مورد استفاده قرار می‌گیرد. وقتی که یکبار این سیکل کامل شد، کل تلفات محاسبه و با تلفات محاسبه شده در سیکل قبل مقایسه می‌شود اگر تفاوت به دست آمده از تلفات در دو حل متوالی کمتر از مقدار تلورانس قابل قبول نباشد، عملیات تکرار می‌شود. این سیکل‌ها ادامه پیدا می‌کند و وقتی که تفاوت تلفات محاسبه شده در دو سیکل متوالی کمتر از مقدار تلورانس قابل قبول باشد [۱۶].

۳- شرح روش تخمین

در این قسمت مراحل مختلف مربوط به روش تخمین شرح داده می‌شود. بدین منظور ابتدا رویت شوندگی شبکه مورد بحث قرار گرفته و



تلفات شاخه ها، تلفات کل، میزان عدم تعادل ولتاژ و جریان نیز در انتهای کار انجام می پذیرد.

به منظور انجام تخمین صحیح، داشتن اطلاعات مربوط به مقادیر می نیم داده های زمان حقیقی ضروری می باشد. در شبکه های توزیع شعاعی، ولتاژ بس اصلی به عنوان مرجع انتخاب می گردد و تخمین گر حالت $(n-1)$ دامنه ولتاژ و $(n-1)$ زاویه ولتاژ را در شبکه n نقطه ای محاسبه می کند. اگر اندازه گیری از توان های اکتیو و راکتیو بارها در $(n-1)$ نقطه دیگر انجام گرفته باشد، شبکه رؤیت پذیر می باشد. در حالت کلی چنین امری میسر نبوده و اطلاعات پخش توان اکتیو و راکتیو در بعضی بس ها و شاخه ها از شبکه موجود می باشد. به واسطه طبیعت شعاعی شبکه، از روی مقادیر اندازه گیری شده در شاخه های متصل به یک گره، پیش بینی توان بار در آن نقطه امکان پذیر می باشد. شکل (۲) مراحل اصلی در تحلیل رؤیت شوندگی این مقاله را نشان می دهد.

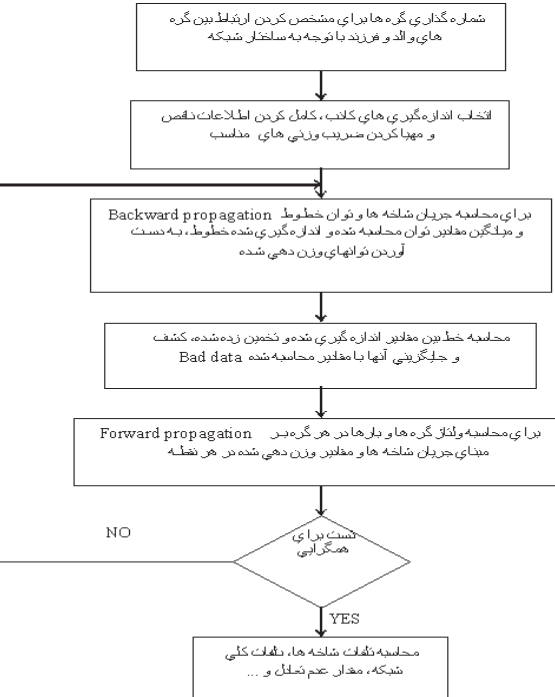
۳-۳- تشخیص اطلاعات و داده های نادرست

پردازشگر داده های ناقص، حضور داده های نادرست در اندازه گیری ها را تشخیص می دهد. بعد از آنکه داده های نادرست مشخص گردد، از مجموعه داده های اندازه گیری شده ای که در تخمین حالت استفاده می شوند، حذف شده و مقدار مناسب جایگزین آن می گردد. در این رویکرد اختلاف میان مقادیر اندازه گیری شده و محاسبه شده، در خلال هر مرحله از فرآیند تکرار محاسبه می شود. این اختلاف ارزیابی شده و در فرآیند تکرار الگوریتم کاهش می یابد. بعد از چند تکرار (۴) یا (۵) اختلاف مقادیر میان داده های اندازه گیری شده و محاسبه شده از حد آستانه (مثالاً $0.1 \approx (T_Z)$) بیشتر بود، این داده ها بعنوان داده های نادرست در نظر گرفته می شوند. این داده ها باید توسط مقادیر محاسبه شده و یا اندازه گیری های کاذب جایگزین گشته و فرآیند تکرار تخمین گر ادامه یابد.

۴-۳- تخمین حالت هارمونیکی- فرآیند تکرار

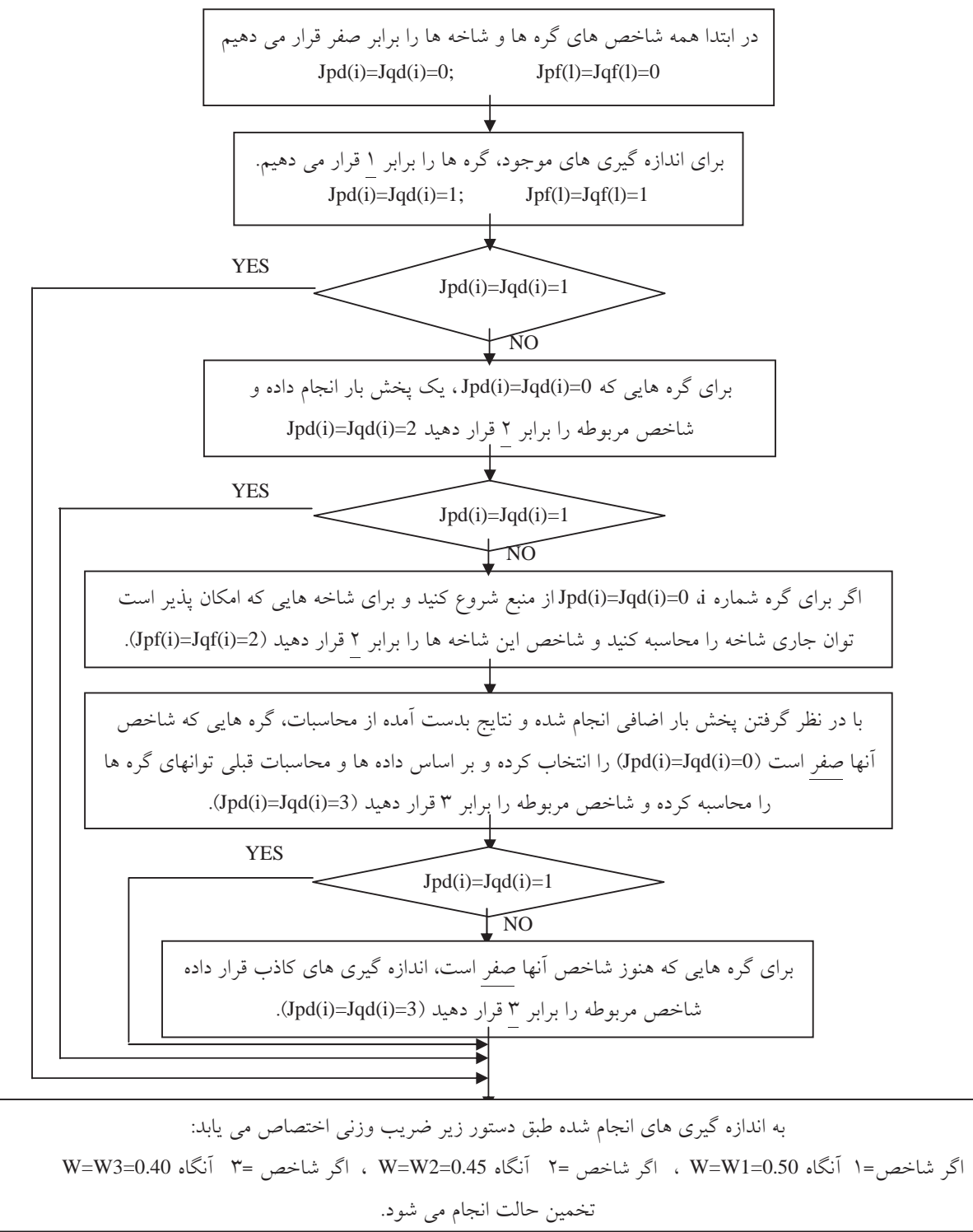
لازم به ذکر است که در قسمت تخمین هارمونیکی ابتدا امپدانس هارمونیکی شبکه محاسبه گردیده [۱۸] و با توجه به مقادیر اندازه گیری شده و توان هارمونیکی، پخش بار هارمونیکی اولیه را انجام داده و با توجه به داده های پخش بار هارمونیکی از رابطه زیر جریانهای هارمونیکی محاسبه می گردد.

$$\begin{bmatrix} I_{Lah}(i) \\ I_{Lbh}(i) \\ I_{Lch}(i) \end{bmatrix} = \begin{bmatrix} V_{ah}(i) \\ V_{bh}(i) \\ V_{ch}(i) \end{bmatrix} \Bigg/ \begin{bmatrix} Z_{Lah}(i) \\ Z_{Lbh}(i) \\ Z_{Lch}(i) \end{bmatrix} \quad (2)$$



شکل (۱): فلوچارت الگوریتم

چنانچه مشاهده می شود، در ابتدا تعداد نقاط (گره ها) به منظور ایجاد رابطه والد- فرزندی بر اساس تپولوژی شبکه مشخص می گردد [۶] و در ادامه مقادیر اندازه گیری شده مورد بررسی قرار می گیرند، اگر تعداد اندازه گیری ها کافی نبود، بقیه مقادیر و داده های مورد نیاز هر گره بر اساس اندازه گیری های انجام شده در گره های دیگر، محاسبه می شوند و یا از اندازه گیری های کاذب، جایگزین می شوند. بر این اساس شاخص هایی برای مقادیر اندازه گیری شده تعریف می گردد. انتخاب اندازه گیری های کاذب، جایگزینی اطلاعات از دست رفته، ایجاد ضایعه وزنی مناسب، مراحل و اولویت های الگوریتم تحلیل رؤیت شوندگی می باشد. در ادامه از پخش بار هارمونیکی پس رونده به منظور محاسبه جریان های شاخه ها و توان شاخه ها استفاده می شود. در خلال عملیات تکرار پردازش، داده های نادرست تشخیص داده شده و توسط مقادیر محاسبه شده یا کاذب جایگزین می گردد. محاسبه خطاهای بین مقادیر اندازه گیری شده و تخمین زده شده، تشخیص اندازه گیری های نادرست و جایگزینی مقادیر محاسبه شده یا مقادیر کاذب به جای اندازه گیری های نادرست، مراحل کار در الگوریتم تشخیص اطلاعات نادرست می باشد. ولتاژ های نقاط و بار در هر گره، توسط پخش بار هارمونیکی پیش رونده محاسبه شده و لذا جریان های شاخه ها و بارها محاسبه می گردد. در ادامه ولتاژ هر گره مورد محاسبه قرار گرفته و تست همگرایی انجام می شود. خطاهای میان مقادیر محاسبه شده و اندازه گیری شده پخش توان اکتیو و راکتیو و تزریقی نیز مورد بررسی و مطالعه قرار می گیرد. محاسبه



شکل (۲): مراحل اصلی در تحلیل رویت شوندگی

ولتاژهای گره‌ها بر اساس رابطه (۸) با شروع از فیدر مرجع و تداوم در مسیرهای شبکه، محاسبه می‌گردد.

$$\begin{bmatrix} V_{ah}(j) \\ V_{bh}(j) \\ V_{ch}(j) \end{bmatrix} = \begin{bmatrix} V_{ah}(i) \\ V_{bh}(i) \\ V_{ch}(i) \end{bmatrix} - \begin{bmatrix} Z_{aamh} & Z_{abmh} & Z_{acmh} \\ Z_{abmh} & Z_{bbmh} & Z_{bcmh} \\ Z_{acmh} & Z_{bcmh} & Z_{ccmh} \end{bmatrix} \begin{bmatrix} I_{ah}(m) \\ I_{bh}(m) \\ I_{ch}(m) \end{bmatrix} \quad (8)$$

۶-۳- همگرایی فرآیند تکرار در محاسبات هارمونیکی

مراحل ذکر شده در پخش هارمونیکی پس رونده و پخش هارمونیکی پیش رونده در خلال هر تکرار، منجر به محاسبات ولتاژ می‌شود. در مرحله بررسی همگرایی، دامنه ولتاژ هر گره با مقدار تکرار قبلی خود مقایسه می‌گردد، لذا اختلاف ولتاژ در گره (i) بر اساس تکرار k ام هارمونیکی با روابط (۹) تا (۱۵) بررسی می‌گردد.

$$\Delta V^k(j) = V^k(j) - V^{k-1}(j) \quad (9)$$

$$\text{Re } al|\Delta V(j)| < \text{eps} \quad (10)$$

$$\text{Imag}|\Delta V(j)| < \text{eps} \quad (11)$$

$$\text{Re } alPowerFlow|(\text{PIC} - \text{PIM})| < \text{eps} \quad (12)$$

$$\text{Re } activePowerFlow|(\text{QIC} - \text{QIM})| < \text{eps} \quad (13)$$

$$\text{Re } alPowerInjection|(\text{PIJC} - \text{PIJM})| < \text{eps} \quad (14)$$

$$\text{Re } activePowerFlow|(\text{QIJC} - \text{QIJM})| < \text{eps} \quad (15)$$

اگر هر دو رابطه (۱۰) و (۱۱) برآورده گردد، الگوریتم تکرار متوقف می‌شود، علاوه بر اختلاف ولتاژ اختلاف میان توان‌های حقیقی و راکتیو، همچنین توان‌های حقیقی و راکتیو تزریق شده به شاخه‌ها نیز مد نظر قرار می‌گیرد [۱۹].

۴- حل شبکه نمونه و نتایج آن

بر اساس الگوریتم ارائه شده، یک برنامه کامپیوتی به منظور بررسی صحت این روش نوشته شد. این الگوریتم برای یک سیستم توزیع که اطلاعات آن در ادامه ذکر می‌گردد، پیاده سازی گردید.

۴-۱- پخش بار برای یک شبکه شعاعی تست واقعی

به منظور بررسی و مطالعه بیشتر، این روش برای یک شبکه شعاعی متقاضی که نمودار ساده آن در شکل (۳) نشان داده شده است و اطلاعات مداری آن در جداول (۱) و (۲) آمده است، پیاده سازی گردیده است.

بعد از اینکه جریان هارمونیکی بارها محاسبه گردید، مقادیر مربوط به هارمونیک شاخه‌ها با استفاده از معادلات (۳) و (۴) محاسبه می‌شوند و با توجه به مقادیر اندازه گیری شده، وزن دهی می‌گردد. سپس بر اساس ضرایب وزنی، جریان و توان هارمونیکی شاخه‌ها بر اساس معادلات (۶) و (۷) به نو می‌شوند. جریان هارمونیکی شاخه m بر اساس بارها و شاخه‌هایی که به آن متصل می‌شوند از رابطه (۲) محاسبه می‌گردد.

$$\begin{bmatrix} I_{Lah}(m) \\ I_{Lbh}(m) \\ I_{Lch}(m) \end{bmatrix} = \sum_{p \neq m} \begin{bmatrix} I_{ah}(p) \\ I_{bh}(p) \\ I_{ch}(p) \end{bmatrix} + \begin{bmatrix} I_{Lah}(i) \\ I_{Lbh}(i) \\ I_{Lch}(i) \end{bmatrix} \quad (3)$$

که شاخه m به شاخه P متصل می‌گردد. پخش توان در شاخه m بر اساس روابط زیر محاسبه می‌گردد:

$$\begin{bmatrix} PIJC_{ah}(m) \\ PIJC_{bh}(m) \\ PIJC_{ch}(m) \end{bmatrix} = \text{Re } al \begin{bmatrix} V_{ah}(j)i_{ah}(m)^* \\ V_{bh}(j)i_{bh}(m)^* \\ V_{ch}(j)i_{ch}(m)^* \end{bmatrix} \quad (4)$$

$$\begin{bmatrix} QIJC_{ah}(m) \\ QIJC_{bh}(m) \\ QIJC_{ch}(m) \end{bmatrix} = \text{Im } ag \begin{bmatrix} V_{ah}(j)i_{ah}(m)^* \\ V_{bh}(j)i_{bh}(m)^* \\ V_{ch}(j)i_{ch}(m)^* \end{bmatrix} \quad (5)$$

اگر اندازه گیری‌های مربوط به شاخه‌ای موجود نباشد، آنکه مقادیر محاسبه شده در تکرار قبلی به جای آن جایگزین می‌شود سپس اختلاف میان مقادیر اندازه گیری شده و محاسبه شده، به دست می‌آید. اگر این خطأ از حد آستانه بیشتر بود، به عنوان داده نادرست در نظر گرفته می‌شود و این داده نادرست با مقدار محاسبه شده جایگزین می‌شود.

ضرایب وزنی W مربوط به اندازه گیری‌ها به صورتی که در الگوریتم مشخص می‌شوند محاسبه می‌گردد. در نهایت توان‌های هارمونیکی شاخه‌ها بر اساس ضرایب وزنی و محاسبات و اندازه گیری‌های انجام شده از روابط زیر به دست می‌آیند:

$$\begin{bmatrix} PIJW_{ah}(m) \\ PIJW_{bh}(m) \\ PIJW_{ch}(m) \end{bmatrix} = \begin{bmatrix} \{(1-W)PIJC_{ah} + (W)PIJM_{ah}\} \\ \{(1-W)PIJC_{bh} + (W)PIJM_{bh}\} \\ \{(1-W)PIJC_{ch} + (W)PIJM_{ch}\} \end{bmatrix} \quad (6)$$

$$\begin{bmatrix} QIJW_{ah}(m) \\ QIJW_{bh}(m) \\ QIJW_{ch}(m) \end{bmatrix} = \begin{bmatrix} \{(1-W)QIJC_{ah} + (W)QIJM_{ah}\} \\ \{(1-W)QIJC_{bh} + (W)QIJM_{bh}\} \\ \{(1-W)QIJC_{ch} + (W)QIJM_{ch}\} \end{bmatrix} \quad (7)$$

۴-۵- پخش هارمونیکی پیش رونده

هدف از پخش هارمونیکی پیش رونده محاسبه ولتاژ و بار هر گره با شروع از گره مرجع است. ولتاژ مرجع برابر با مقدار اندازه گیری شده تنظیم می‌شود. در خلال Forward Propagation، جریان‌های شاخه‌ها بر اساس توان‌های وزن دهی شده محاسبه شده و سپس ولتاژهای گره‌ها محاسبه می‌شوند.



۵- تخمین فیدر توزیع در شبکه اصفهان

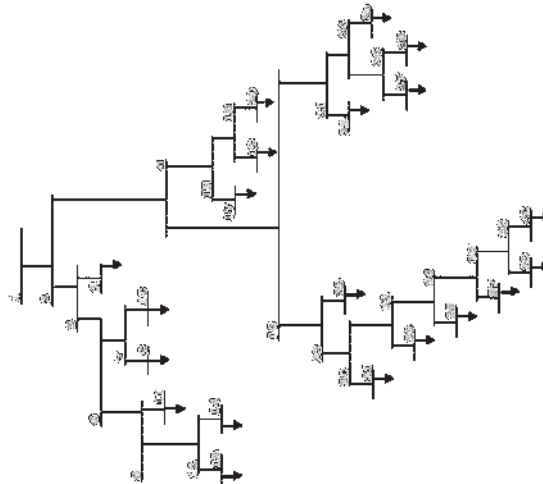
۵-۱- تخمین هارمونیکی فیدر شماره ۵ جاده نائین

در ادامه الگوریتم و روش تخمین ارائه شده برای مؤلفه اصلی و هارمونیک های سوم و پنجم در شبکه برق اصفهان که دیاگرام تک خطی ساده شده آن در شکل (۴) آمده است، پیاده سازی شده و نتایج آن در ادامه نشان داده شده است.

در این مقاله قسمتی از شبکه که دارای پست زمینی نبوده است ساده شده و امپدانس معادل محاسبه شده، به جای آن قرار داده می شود. نقاطی که با علامت ضربدر (*) نشان داده شده است مکان های اندازه گیری می باشند.

۵-۱-۱- پخش بار مؤلفه اصلی

لازم به ذکر است که پست $63/20kV$ جاده نائین در محاسبات مؤلفه اصلی به عنوان باس مرجع (۱) در نظر گرفته شده است. امپدانس بارها بر اساس تقریباً $\frac{1}{8}$ توان دیماند و با ضریب توان 0.85 و با توجه به خازن گذاری در بس های مختلف و امپدانس ترانس بر اساس استاندارد ترانس های شرکت ایران ترانسفو محاسبه گردیده است که امپدانس معادل متصل به هر بس در جدول (۵) آمده است. امپدانس خطوط با توجه به مشخصات خط هوایی و زمینی محاسبه گردیده که در جدول (۶) بر حسب پریونیت ذکر شده است. ($S_{base}=1000kVA$ و $V_{base}=20kV$)



شکل (۳): دیاگرام ساده شده سیستم نمونه

نتیجه پخش بار شبکه شکل (۳) با روش ارائه شده در این مقاله در جدول (۳) آمده است. به منظور بررسی روش ارائه شده در مورد هارمونیک ها نیز، برنامه پخش بار هارمونیکی مربوط به هارمونیک ۳ این شبکه نیز انجام گردید که نتایج آن در جدول (۴) آمده است. با توجه به اینکه منطق شماره گذاری در این پروژه و گزارش متفاوت می باشد، شماره گذاری بس ها و خطوط دوباره انجام گرفته است و جدول ماتریس مشخصه این مدار هم به دست می آید. با اجرای برنامه این گزارش و نتایج به دست آمده از الگوریتم در نرم افزار Matlab تفاوت اندازه های ولتاژ با اندازه های ولتاژ در پروژه در حد 0.006 و اختلاف زاویه ها در حد 0.02 درجه است که تقریب قابل قبولی است.



جدول (١): اطلاعات خطوط شبکه شکل (٤)

شماره خط	R(ohm)	X(ohm)
۱۶ و ۲۴ و ۲	۰/۱۹۶	۰/۹۰۵
۲۱ و ۲۲ و ۲	۰/۲۷۹	۰/۰۱۵
۲۲ و ۳۲ و ۳۰ و ۱۵ و ۲۴	۰/۴۴۴	۰/۴۳۹
۳ و ۳۸ و ۳۶ و ۳۴ و ۱۸ و ۱۲ و ۷ و ۶ و ۲۶	۰/۸۶۴	۰/۷۵۱
۵ و ۴۰ و ۳۷ و ۳۵ و ۳۳ و ۲۹ و ۱۷ و ۱۴ و ۱۳ و ۱ و ۲۰ و ۲۷ و ۲۸	۱/۳۷۴	۰/۷۷۴

جدول (۲): مقادیر بارهای شبکه شکل (۴)

V _{base} =23kV, S _{base} =15MVA, Load factor=0.95			
شماره گره بار	توان راکتیو (p.u)	شماره گره بار	توان راکتیو (p.u)
۵	۰/۰۱۶	۳۱	۰/۰۱۲
۹	۰/۰۰۸	۳۳	۰/۰۱۴
۱۰	۰/۰۱۴	۳۵	۰/۰۱۷
۱۱	۰/۰۱	۳۷	۰/۰۱۲
۱۲	۰/۰۱۵	۴۰	۰/۰۱۵
۱۴	۰/۰۱۴	۳۹	۰/۰۱۱۶
۱۷	۰/۰۲۴	۲۵	۰/۰۱۹
۱۹	۰/۰۱۲	۲۷	۰/۰۱۲
۲۰	۰/۰۱۵	۲۸	۰/۰۱۶
۲۹	۰/۰۱	۲۳	۰/۰۴

جدول (۳): نتایج پخش بار مؤلفه اصلی شبکه توزیع شعاعی نمونه

شماره باس	مرتبه هارمونیک $h=1$			
	ولتاژ (p.u)	توان (p.u)	راکتیو (Q)	اکتیو (P)
دامنه	زاویه			
۱	۱	*	*	*
۲	۰/۹۸۸۵	-۰/۹۰۱۴	*	*
۳	۰/۹۸۱۳	-۱/۰۷۴۳	*	*
۴	۰/۹۷۹۸	-۱/۰۹۹۶	*	*
۵	۰/۹۷۹۶	-۱/۰۹۳۶	۰/۰۱۱۶	۰/۰۳۵۳
۶	۰/۹۷۵۲	-۱/۲۲۱۶	*	*
۷	۰/۹۷۳۱	-۱/۲۷۵۲	*	*
۸	۰/۹۷۱۴	-۱/۳۱۶۸	*	*
۹	۰/۹۷۱۹	-۱/۲۸۸۷	۰/۰۰۸۰	۰/۰۲۴۳
۱۰	۰/۹۷۱۰	-۱/۲۹۸۸	۰/۰۱۴۰	۰/۰۴۲۶
۱۱	۰/۹۶۹۹	-۱/۳۳۳۷	۰/۰۱۰۰	۰/۰۳۰۴
۱۲	۰/۹۶۸۵	-۱/۳۸۸۰	*	*
۱۳	۰/۹۶۶۳	-۱/۴۱۳۶	۰/۰۱۵۰	۰/۰۴۵۶
۱۴	۰/۹۶۶۵	-۱/۴۱۱۸	۰/۰۱۴۰	۰/۰۴۲۶
۱۵	۰/۹۷۷۱	-۱/۹۷۶۹	*	*
۱۶	۰/۹۷۳۱	-۲/۱۰۱۸	*	*
۱۷	۰/۹۷۳۷	-۱/۷۱۷۱	۰/۰۲۴۰	۰/۰۷۳۰
۱۸	۰/۹۷۴۵	-۱/۷۴۲۴	*	*
۱۹	۰/۹۷۲۸	-۱/۷۶۲۶	۰/۰۱۲۰	۰/۰۳۶۵
۲۰	۰/۹۷۲۳	-۱/۷۶۷۶	۰/۰۱۵۰	۰/۰۴۵۶
۲۱	۰/۹۷۰۹	-۲/۱۱۶۵	*	*
۲۲	۰/۹۷۰۸	-۲/۱۱۳۶	*	*
۲۳	۰/۹۶۸۸	-۲/۱۷۸۱	۰/۰۴۰۰	۰/۱۲۱۷
۲۴	۰/۹۶۸۵	-۲/۱۸۹۰	*	*
۲۵	۰/۹۶۵۷	-۲/۲۲۱۴	۰/۰۱۹۰	۰/۰۵۷۸



ادامه جدول (۳): نتایج پخش بار مؤلفه اصلی شبکه توزیع شعاعی نمونه

شماره باس	مرتبه هارمونیک h=1			
	ولتاژ (p.u)	زاویه	توان (p.u)	
	دامنه	راکتیو (Q)	اکتیو (P)	
۲۶	۰/۹۶۵۷	-۲/۲۵۸۲	۰/۰۱۲۰	۰/۰۳۶۵
۲۷	۰/۹۶۳۹	-۲/۲۷۸۸	۰/۰۱۶۰	۰/۰۴۸۷
۲۸	۰/۹۶۳۳	-۲/۲۸۵۶	۰/۰۱۰۰	۰/۰۳۰۴
۲۹	۰/۹۶۹۳	-۲/۱۳۰۵	۰/۰۱۲۰	۰/۰۳۹۵
۳۰	۰/۹۶۶۴	-۲/۲۳۹۹	۰/۰۱۴۰	۰/۰۴۲۶
۳۱	۰/۹۶۴۷	-۲/۲۶۰۴	۰/۰۱۷۰	۰/۰۵۱۷
۳۲	۰/۹۶۲۷	-۲/۳۴۸۵	۰/۰۱۴۰	۰/۰۳۹۵
۳۳	۰/۹۶۰۷	-۲/۳۷۲۷	۰/۰۱۴۰	۰/۰۴۲۶
۳۴	۰/۹۵۷۱	-۲/۴۸۸۰	۰/۰۱۷۰	۰/۰۵۱۷
۳۵	۰/۹۵۴۹	-۲/۵۱۷۶	۰/۰۱۷۰	۰/۰۳۹۵
۳۶	۰/۹۵۳۲	-۲/۵۸۵۸	۰/۰۱۷۰	۰/۰۴۲۶
۳۷	۰/۹۵۱۴	-۲/۶۰۶۸	۰/۰۱۲۰	۰/۰۳۹۵
۳۸	۰/۹۵۰۵	-۲/۶۵۳۶	۰/۰۱۱۶	۰/۰۳۵۳
۳۹	۰/۹۴۸۸	-۲/۶۷۴۱	۰/۰۱۰۰	۰/۰۴۵۶
۴۰	۰/۹۴۸۳	-۲/۶۸۰۱	۰/۰۱۰۰	۰/۰۴۵۶



جدول (۴): نتایج پخش بار هارمونیک سوم شبکه توزیع شعاعی نمونه

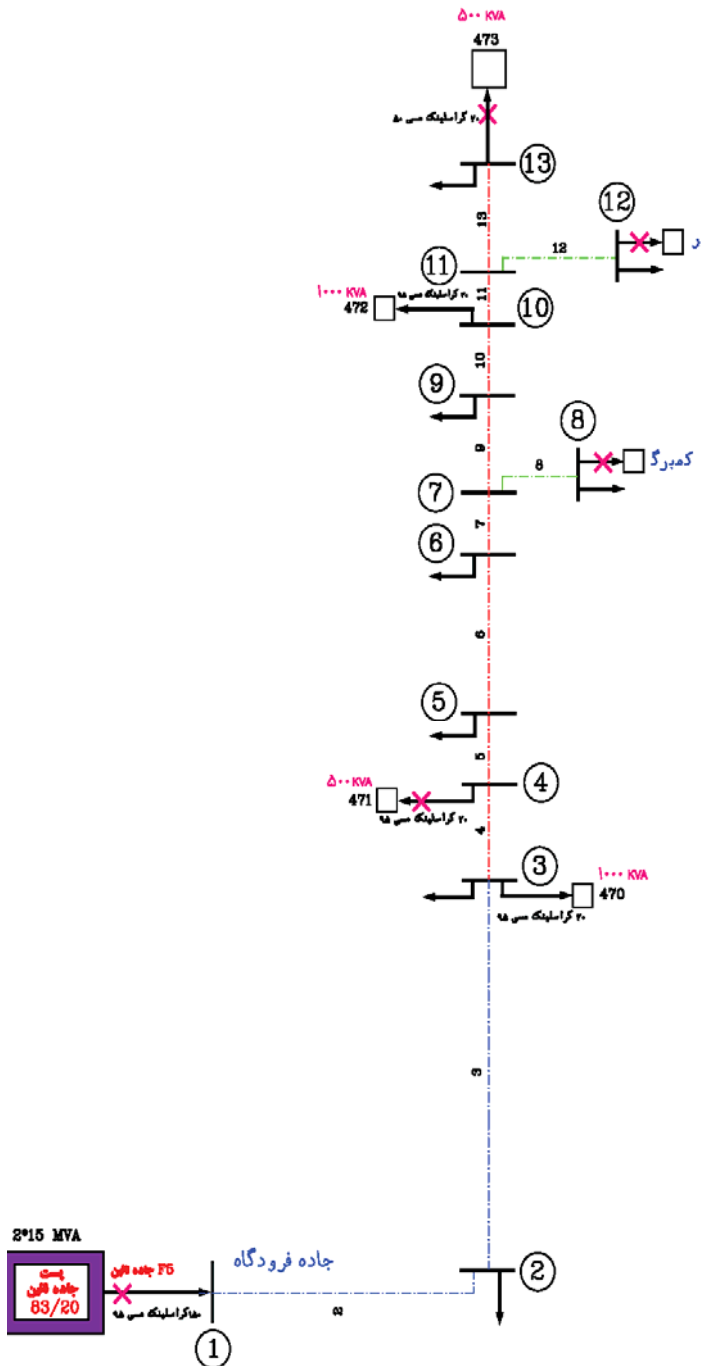
شماره پاس	مرتبه هارمونیک h=3			
	ولتاژ (p.u)		توان (p.u)	
	دامنه	زاویه	راکتیو (Q)	اکتیو (P)
۱	۰/۰۳	۰	۰	۰
۲	۰/۰۲۹	-۱/۵۲۴۷	۰	۰
۳	۰/۰۲۸۷	-۱/۸۳۱۶	۰	۰
۴	۰/۰۲۸۳	-۲/۷۵۰۲	۰	۰
۵	۰/۰۲۸۶	-۱/۸۶۶۶	۰/۰۵۰۷	۰/۰۵۲۸
۶	۰/۰۲۸۴	-۲/۰۹۵۱	۰	۰
۷	۰/۰۲۸۳	-۲/۱۹۱۴	۰	۰
۸	۰/۰۲۸۲	-۲/۲۶۶۴	۰	۰
۹	۰/۰۲۸۳	-۲/۲۱۶۳	۰/۰۳۴۷	۰/۰۳۶۳
۱۰	۰/۰۲۸۲	-۲/۲۳۵	۰/۰۶۰۷	۰/۰۶۳۶
۱۱	۰/۰۲۸۲	-۲/۲۹۷۷	۰/۰۴۳۳	۰/۰۴۰۴
۱۲	۰/۰۲۸۱	-۲/۳۹۵۲	۰	۰
۱۳	۰/۰۲۸	-۲/۴۴۲۸	۰/۰۶۴۷	۰/۰۶۸۰
۱۴	۰/۰۲۸	-۲/۴۳۹۶	۰/۰۶۰۴	۰/۰۶۳۵
۱۵	۰/۰۲۸۱	-۲/۸۹۱۳	۰	۰
۱۶	۰/۰۲۷۷	-۳/۷۴۸۴	۰	۰
۱۷	۰/۰۲۸	-۲/۹۶۷۷	۰/۱۰۲۴	۰/۱۰۸۰
۱۸	۰/۰۲۸	-۳/۰۱۲	۰	۰
۱۹	۰/۰۲۸	-۳/۰۵۰۵	۰/۰۵۱۱	۰/۰۵۴۲
۲۰	۰/۰۲۷۹	-۳/۰۶۰۱	۰/۰۶۳۹	۰/۰۶۷۸
۲۱	۰/۰۲۷۷	-۳/۶۸۸۴	۰	۰
۲۲	۰/۰۲۷۷	-۳/۶۸۴۱	۰	۰
۲۳	۰/۰۲۷۶	-۳/۸۰۳۸	۰/۱۶۷۵	۰/۰۱۷۹۸
۲۴	۰/۰۲۷۵	-۳/۸۲۴۴	۰	۰
۲۵	۰/۰۲۷۴	-۳/۸۸۸۳	۰/۰۷۹۴	۰/۰۸۰۴



ادامه جدول (۴): نتایج پخش بار هارمونیک سوم شبکه توزیع شعاعی نمونه

شماره باس	مرتبه هارمونیک h=3			
	ولتاژ (p.u)		توان (p.u)	
	دامنه	زاویه	راکتیو (Q)	اکتیو (P)
۲۶	۰/۰۲۷۴	-۳/۹۵۵۴	۰	۰
۲۷	۰/۰۲۷۳	-۳/۹۹۶۱	۰/۰۵۰۰	۰/۰۵۳۹
۲۸	۰/۰۲۷۳	-۴/۰۰۹۸	۰/۰۶۶۷	۰/۰۷۱۸
۲۹	۰/۰۲۷۶	-۳/۷۱۷۳	۰/۰۴۲۰	۰/۰۴۵۰
۳۰	۰/۰۲۷۴	-۳/۹۲۱۴	۰	۰
۳۱	۰/۰۲۷۴	-۳/۹۶۲۰	۰/۰۵۰۱	۰/۰۵۳۹
۳۲	۰/۰۲۷۳	-۴/۱۲۶۸	۰	۰
۳۳	۰/۰۲۷۲	-۴/۱۷۴۹	۰/۰۵۸۱	۰/۰۶۲۸
۳۴	۰/۰۲۷	-۴/۳۹۴۱	۰	۰
۳۵	۰/۰۲۶۹	-۴/۴۵۴۰	۰/۰۷۰۲	۰/۰۷۶۱
۳۶	۰/۰۲۶۸	-۴/۵۸۲۷	۰	۰
۳۷	۰/۰۲۶۸	-۴/۶۲۰۷	۰/۰۴۹۳	۰/۰۵۳۷
۳۸	۰/۰۲۶۷	-۴/۷۱۴۳	۰	۰
۳۹	۰/۰۲۶۶	-۴/۷۵۶۲	۰/۰۴۷۵	۰/۰۵۱۹
۴۰	۰/۰۲۶۶	-۴/۷۶۸۵	۰/۰۶۱۵	۰/۰۶۷۰





شکل (۴) دیاگرام تک خطی ساده شده شبکه توزیع نائین از شهرستان اصفهان

متصل به باس مورد محاسبه قرار گرفته و در جداول ذکر شده، آمده است.

همانطور که از نتایج جدول (۸) مشاهده می شود مقادیر مربوط به ولتاژ و توان های اکتیو و راکتیو اندازه گیری شده، تخمین زده شده و محاسبه شده از طریق برنامه پخش بار در اکثر موارد یکسان بوده و در موارد اندکی نیز اختلاف بسیار کم و قابل صرفنظری با یکدیگر دارند که از این رو صحت الگوریتم تخمین تأیید می شود.

۵-۲-پخش بار مؤلفه های هارمونیکی

با توجه به اطلاعات و اندازه گیری های موجود و احتمال وجود بیشترین منبع تولید توان هارمونیکی در باس شماره ۱۳، این باس به عنوان باس مرتع در نظر گرفته می شود. در ابتدا با استفاده از جداول (۵) و (۶) مقادیر امپدانس های شبکه (بارها و شاخه ها) را برای هارمونیک های ۳ و ۵ محاسبه می کنیم. اندازه گیری های صورت گرفته در برخی از باس ها در تاریخ ۸۵/۰۹/۰۱ در ساعت ۱۰:۰۰ برای مؤلفه های ۳ و ۵ هارمونیکی در جدول (۹) ذکر شده است.

نتایج برنامه تخمین برای هارمونیک سوم و پنجم در فاز a در جداول (۹) تا (۱۲) آمده است.

با مقایسه نتایج به دست آمده با مقادیر اندازه گیری شده که در جداول فوق آمده است، بخصوص در مورد باس چهارم که به منظور تست برنامه انتخاب شده است صحت روش و نتایج تخمین و همگرایی الگوریتم تأیید می گردد.

در باس های ۱۲، ۸ و ۱۳ با استفاده از رابطه (۱۶) می توان محاسباتی مکان های اندازه گیری را به دست آورد.

۶-نتیجه گیری

در این مقاله روشی کارآمد و با قابلیت بالا به منظور پیاده سازی در شبکه های توزیع شعاعی واقعی جهت تخمین حالت مؤلفه اصلی و هارمونیکی ارائه گردید. از مهمترین مزیت های این روش می توان به قابلیت تشخیص داده های نادرست و پردازش صحیح آنها و قابلیت بکارگیری آن در مبحث تخمین حالت هارمونیکی در سیستم های شعاعی واقعی و عملی اشاره نمود. تست الگوریتم تخمین حالت پیشنهادی بر داده های سیستم نمونه و همچنین قسمتی از شبکه توزیع شهرستان اصفهان، قابلیت و صحت عملکرد این روش هم برای مؤلفه اصلی فرانکس و هم مؤلفه های هارمونیکی تایید گردید.

جدول (۵): امپدانس بار باس های شبکه

Bus No.	Impedance (p.u)
1	inf
2	24.754-66.667j
3	6.219+2.748j
4	Inf
5	10.239-2.254j
6	43.632-58.226j
7	Inf
8	11.592-0.426j
9	27.295-13.44j
10	5.449+4.878j
11	Inf
12	49.087-52.521j
13	18.877-55.746j

جدول (۶): امپدانس شاخه های شبکه

Branch No.	Impedance (p.u)
2	0.0007+0.0009j
3	0.0001+0.0002j
4	0.0001+0.0001j
5	0.00001+0.00001j
6	0.0001+0.00001j
7	0.00001+0.00001j
8	0.0002+0.0001j
9	0.0001+0.0001j
10	0.0001+0.0001j
11	0.00001+0.00001j
12	0.0003+0.0001j
13	0.0002+0.0001j

همانطور که می دانیم میزان بار مصرفی و طبعاً ولتاژ باس ها در شبکه توزیع در ساعات مختلف شبانه روز در حال تغییر است به این دلیل در این مقاله از مقادیر اندازه گیری شده در ساعت ۱۰:۰۰ روز ۸۵/۰۹/۰۱ برای تخمین استفاده شده است. این مقادیر در جدول (۷) ذکر شده است. نتایج به دست آمده در برنامه تخمین ولتاژها برای فاز a در جدول (۷) آمده است. نتایج پخش بار مؤلفه اصلی برای فازهای b و c مشابه فاز a بودند. لازم بذکر است که باس های متناظر با نقاط اندازه گیری شده با علامت ستاره مشخص می باشد.

در باس های ۱۲، ۸ و ۱۳ با استفاده از رابطه زیر می توان توان محاسباتی مکان های اندازه گیری را به دست آورد.

$$\frac{\text{اولتاژ باس متناظر}}{\text{امپدانس بار باس}} = \frac{\text{توان باس متناظر}}{\text{با مکان اندازه}} - \frac{\text{اندازه}}{\text{گیری}} \quad (16)$$

قابل توجه است که در این مقاله، منظور از مکان های اندازه گیری، محل هایی هستند که دقیقاً دستگاه در آنجا نصب شده است. در مورد باس های ۱۲، ۸ و ۱۳ علاوه بر مکان های اندازه گیری، بارهای دیگری نیز وجود دارند که از این باس ها تغذیه شده و لذا در مورد توان های اکتیو و راکتیو در جداول (۸)، (۹)، (۱۱) و (۱۲) مجموع توان های

جدول (۷): مقادیر اندازه گیری شده برای مؤلفه اصلی (مورخ ۸۵/۰۹/۰۱ ساعت ۱۰:۰۰)

شماره مکان اندازه گیری	مقادیر اندازه گیری شده فاز a (p.u)		
	V1	P1	Q1
۱	۱/۰۲۲	۰/۷۱	۰/۰۴۶۶
۲	۱/۰۲۲	۰/۰۸۵	-۰/۰۰۸۲
۳	۱/۰۲	۰/۰۰۰۶	-۰/۰۰۴۴
۴	۱/۰۲۱	۰/۰۵	۰/۰۰۹۷
۵	۱/۰۱۷	۰/۰۸۴	۰/۰۲۵

جدول (۸): مقایسه مقادیر اندازه گیری شده با مقادیر محاسبه شده برای مکان های اندازه گیری (مؤلفه اصلی فاز a)

شماره مکان اندازه گیری	مقدار محاسبه شده در برنامه پخش بار (p.u)			مقدار محاسبه شده در برنامه تخمین (p.u)			مقدار اندازه گیری شده (p.u)		
	V	P	Q	V	P	Q	V	P	Q
۱	۱/۰۲۲۰	۰/۷۱۳۲	۰/۰۴۷۱	۱/۰۲۲۰	۰/۷۱۳۱	۰/۰۴۷۲	۱/۰۲۲	۰/۷۱	۰/۰۴۶۶
۲	۱/۰۲۱۳	۰/۰۸۵۰	-۰/۰۰۰۸	۱/۰۲۱۱	۰/۰۸۵	-۰/۰۰۰۸۲	۱/۰۲۲	۰/۰۸۵	-۰/۰۰۰۸۲
۳	۱/۰۲۱۲	۰/۰۰۰۶	-۰/۰۰۴۴	۱/۰۲۱۱	۰/۰۰۰۶	-۰/۰۰۴۴	۱/۰۲	۰/۰۰۰۶	-۰/۰۰۴۴
۴	۱/۰۲۱۱	۰/۰۵۰	۰/۰۰۰۷	۱/۰۲۱۰	۰/۰۵	۰/۰۰۰۷	۱/۰۲۱	۰/۰۵	۰/۰۰۰۷
۵	۱/۰۲۱۱	۰/۰۸۴	۰/۰۲۵	۱/۰۲۱۰	۰/۰۸۴	۰/۰۲۵	۱/۰۱۷	۰/۰۸۴	۰/۰۲۵



جدول (۹): مقادیر اندازه گیری شده برای مؤلفه ۳ و ۵ هارمونیکی (مورخ ۸۵/۰۹/۰۱ ساعت ۱۰:۰۰)

شماره باس	مقادیر اندازه گیری شده فاز a (p.u)					
	V3	V5	P3	P5	Q3	Q5
۱	-	-	-	-	-	-
۴	۰/۰۰۳۳	۰/۰۳	-۰/۹e-۲	۰	۰/۰۰۸	۰/۳e-۵
۸	۰/۰۰۱۴	۰/۰۱	۷/۳e-۵	۰	-۷/۴e-۵	۰
۱۲	۰/۰۰۲۵	۰/۰۱۶	۰/۰۰۱e-۲	۰	۱/۸e-۵	۰
۱۳	۰/۰۰۳۷	۰/۰۳۳	-۱/۲e-۵	۰	۲/۳e-۵	۰

جدول (۱۰): نتایج تخمین هارمونیک سوم فاز a بر اساس مقادیر اندازه گیری شده

شماره باس	مرتبه هارمونیک h=3			
	دامنه	ولتاژ (p.u)	مجموع توان پار متصل به هر باس (p.u)	اکتیو (P)
۱	۰/۰۰۳۶	-۰/۰۰۰۰۰۸۳	۰	۰
۲	۰/۰۰۳۶	-۰/۰۰۰۰۰۸۳	-۰/۰۰۰۰۰۰۶۷	۰/۰۰۰۰۰۰۰۸۳
۳	۰/۰۰۳۶	-۰/۰۰۰۰۰۸۳	۰/۰۰۰۰۰۱۰۵	۰/۰۰۰۰۰۰۷۹۷
۴*	۰/۰۰۳۶	-۰/۰۰۰۰۰۷۸	۰/۰۰۸	-۰/۰۰۰۹
۵	۰/۰۰۳۶	-۰/۰۰۰۰۰۶۹	-۰/۰۰۰۰۰۶۱	۰/۰۰۰۰۰۰۹۳
۶	۰/۰۰۳۶	-۰/۰۰۰۰۰۷۲	-۰/۰۰۰۰۰۰۷۳	۰/۰۰۰۰۰۰۱۸
۷	۰/۰۰۳۶	-۰/۰۰۰۰۰۷	۰	۰
۸*	۰/۰۰۳۶	-۰/۰۰۰۰۰۷۷	۰/۰۰۰۰۰۰۷۷۷	۰/۰۰۰۰۰۰۸۴۶
۹	۰/۰۰۳۶	-۰/۰۰۰۰۰۴۷	-۰/۰۰۰۰۰۰۲۳	۰/۰۰۰۰۰۰۱۵
۱۰	۰/۰۰۳۶	-۰/۰۰۰۰۰۲۱	۰/۰۰۰۰۰۰۸۲۱	۰/۰۰۰۰۰۰۳۰۵
۱۱	۰/۰۰۳۶	-۰/۰۰۰۰۰۱۸	۰	۰
۱۲*	۰/۰۰۳۶	-۰/۰۰۰۰۰۱۹	۰/۰۰۰۰۰۰۱۷۲	۰/۰۰۰۰۰۰۰۰۲
۱۳*	۰/۰۰۳۷	-۰/۰۰۰۰۰۱۹	-۰/۰۰۰۰۰۰۸	۰/۰۰۰۰۰۰۰۹

جدول (11): نتایج تخمین هارمونیک پنجم فاز a بر اساس مقادیر اندازه گیری شده

نام پاک	(P.I)		مجموعه نویل پار هتل و هتل پارس (P.II)	
	گل	گل	دراخچ (D)	دراخچ (D)
۱	گل	گل	*	*
۲	گل	گل	-	-
۳	گل	گل	-	-
۴	گل	گل	-	-
۵	گل	گل	-	-
۶	گل	گل	-	-
۷	گل	گل	-	-
۸	گل	گل	-	-
۹	گل	گل	-	-
۱۰	گل	گل	-	-
۱۱	گل	گل	-	-
۱۲	گل	گل	-	-
۱۳	گل	گل	-	-
۱۴	گل	گل	-	-
۱۵	گل	گل	-	-

جدول (۱۲): مقایسه مقادیر اندازه گیری شده با مقادیر محاسبه شده برای مکان های اندازه گیری (همونیک های ۳ و ۵ فاز)

نمایه اندازه گیری مکان	نمایه روزگار	مقدار محاسبه شده در برنامه پخش بار (p.u)			مقدار محاسبه شده در برنامه تخمین (p.u)			مقدار اندازه گیری شده (p.u)		
		V	P	Q	V	P	Q	V	P	Q
۲	۳	-۰/۰۰۳۶	-۰/۰۰۹	-۰/۰۸	-۰/۰۰۳۶	-۰/۰۰۹	-۰/۰۸	-۰/۰۰۳۳	-۰/۰۰۹	-۰/۰۸
	۵	-۰/۰۳۲۹	-۰	۰/۲۹×e-۵	-۰/۰۳۲۹	-۰	۰/۲۹×e-۵	-۰/۰۳	-۰	۰/۳×e-۵
۳	۳	-۰/۰۰۳۶	۷/۳×e-۵	-۷/۴×e-۵	-۰/۰۰۳۶	۷/۳×e-۵	-۷/۴×e-۵	-۰/۰۰۱۴	۷/۳×e-۵	-۷/۴×e-۵
	۵	-۰/۰۳۲۹	-۰	-۰	-۰/۰۳۲۹	-۰	-۰	-۰/۰۱	-۰	-۰
۴	۳	-۰/۰۰۳۶	e-۵	۱/۸×e-۵	-۰/۰۰۳۶	e-۵	۱/۸×e-۵	-۰/۰۰۲۵	e-۵	۱/۸×e-۵
	۵	-۰/۰۳۲۹	-۰	۸/۴×e-۲۲	-۰/۰۳۲۹	-۰	-۰	-۰/۰۱۶	-۰	-۰
۵	۳	-۰/۰۰۳۷	-۰/۰۰۸	-۰/۰۷۹	-۰/۰۰۳۷	-۰/۰۰۸	-۰/۰۸	-۰/۰۰۳۷	-۱/۲×e-۵	۲/۳×e-۵
	۵	-۰/۰۳۳	۱/۸۵×e-۳	۱/۵۲×e-۴	-۰/۰۳۳	۱/۸۵۶×e-۳	۱/۵۲۴×e-۴	-۰/۰۳۳	-۰	-۰

مراجع

- [11] M. Najjar, G. T. Heydt, "A Hybrid Nonlinear-Least Squares Estimation of Harmonic Signal Levels in Power Systems", IEEE Trans. on Power Delivery, Vol. 6, No. 1, pp. 282-288, Jan. 1991.
- [12] Merut E. Baran and Arthur W. Kelly, "State Estimation for Real-time Monitoring of Distribution Systems", IEEE Trans. Vol. 9, No. 3, pp 1601-1609, Aug. 1994.
- [13] C. N. Lu, J. H. Teng and W. H. E. Liu, "Distribution System State Estimation", IEEE Trans. on Power Systems, Vol. 10, No. 1, pp 229-240, Feb. 1995.
- [14] Ke Li, "State Estimation for Power Distribution System and Measurement Impact", IEEE Trans. Vol. 11, No. 2, pp 911-916, May 1996.
- [15] A. P. Sakis Meliopoulos and Fan Zhang, "Multiphase Power Flow and State Estimation for Power Distribution Systems", IEEE Trans. Vol. 11, No. 2, pp 939-946, May 1996.
- [١٦] دکتر علی اکبر گلکار، مسعود، "طراحی و بهره برداری از سیستم های توزیع انرژی الکتریکی"، دانشگاه صنعتی خواجه نصیرالدین طوسی، ۱۳۸۰.
- [17] D. Thukaram, Jovitha Jerome and H. M. Wijekoon Banda, "A Robust Three Phase Power Flow Algorithm for Radial Distribution Systems", Electric Power Systems Research, Vol. 50, No. 3, pp 227-236, June 1999.
- [18] W.Xu, Y.Liu, "A method for determining customer and utility harmonic contributions at the point of common coupling", IEEE Transaction on Power Delivery, Vol. 15, No. 2, April 2000.
- [19] Jovitha Jerome, "Network Observability and Bad Data Processing Algorithm for Distribution Networks", IEEE Conference 2001.
- [٢٠] علیرضا جلیلیان، امیر اصلانی، "مقایسه مدل‌های بار در محیط‌های هارمونیکی و شبیه سازی بر روی شبکه الکتریکی یک واحد صنعتی"، مجله انجمن مهندسین برق و الکترونیک ایران، سال اول، شماره اول، بهار ۱۳۸۳

- [1] F. C. Scheppele, J. wildes, "Power System Static State Estimation, Part I: Exact Model", IEEE Trans. on Power Apparatuses and Systems., Vol. PAS-89, No. 1, pp. 120-125, Jan. 1970.
- [2] F. C. Scheppele, D. B. Rom, "Power System Static State Estimation, Part II: Approximate Model", IEEE Trans. on Power Apparatuses and Systems, Vol. PAS-89, No. 1, pp. 125-130, Jan. 1970.
- [3] R. E. Larson, W. F. Tinney, J. Peschon, "State Estimation in Power Systems, Part I: Theory and Feasibility". IEEE Trans. on Power Apparatuses and Systems, Vol. PAS-89, No. 3, pp 345-352, March 1970.
- [4] F. C. Scheuepple, "Power System Static State Estimation, Part III: Implementation", IEEE Trans. on Power Apparatuses and Systems, Vol. PAS-89, No. 1, pp. 130-135, Jan. 1970.
- [5] O. J. M. Smith, "Power System Static State Estimation", IEEE Trans. on Power Apparatuses and Systems, Vol. PAS-89, No. 3, pp. 363-379, March 1970.
- [6] R. E. Larson, W. F. Tinney, L. P. Hajdu, D. S. Piercy, "State Estimation in Power Systems, Part II: Implementation and Applications", IEEE Trans. on Power Apparatuses and Systems, Vol. PAS-89, No. 3, pp. 353-362, March 1970.
- [7] E. Handschin, F. C. Scheuepple, J. Kohlas, A. Fiechter, "Bad Data Analysis for Power System State Estimation", IEEE Trans. on Power Apparatuses and Systems, Vol. PAS-94, No. 2, pp. 329-337, March/April 1975.
- [8] G. R. Krumpholz, K. A. Clements, P. W. Davis, "Power System Observability: A Practical Algorithm Using Network Topology", IEEE Trans. on Power Apparatuses and Systems, Vol. PAS-99, No. 4, pp. 1534-1542, July/Aug. 1980.
- [9] J. Arrillaga, D. B. Bradley, P. S. Bodger, Power System Harmonics, John Wiley & Sons, 1985.
- [10] G. T. Heydt, "Identification of Harmonic Sources by a State Estimation Technique", IEEE Trans. on Power Delivery, Vol. 4, No. 1, pp. 569-575, Jan. 1989.